



# БИООРГАНИЧЕСКАЯ ХИМИЯ

том 7 \* № 7 \* 1981

УДК 547.39'96+576.852.21

## ЛИПИДЫ МИКОБАКТЕРИЙ.

VII. N-АЦИЛТETРАПЕПТИД С ОСТАТКОМ МИКОЛОВОЙ КИСЛОТЫ  
ИЗ *MYSOBACTERIUM PARAFFINICUM*

**Батраков С. Г., Муратов В. Б., Розынов Б. В.,  
Бергельсон Л. Д.**

Институт биоорганической химии им. М. М. Шемякина  
Академии наук СССР, Москва

**Коронелли Т. В.**

Московский государственный университет им. М. В. Ломоносова,  
биологический факультет

Установлено строение одного из кислотных пептидолипидов, продуцируемых парафинокисляющей бактерией *Mysobacterium paraffinicum*. На основании результатов анализа продуктов химической деградации пептидолипида, а также данных ИК-спектроскопии и масс-спектрометрии последний охарактеризован как N-ацил( $C_{20}$ – $C_{28}$ )-L-(O-миколоил) треонил-L-валил-L-валил-L-лейцин. Осуществлен синтез метилового эфира N-докозаноил-L- треонил-L-валил-L-валил-L-лейцина и его O-ацетата, которые использованы в качестве модельных соединений при интерпретации масс-спектров производных нативного пептидолипида.

В предыдущем сообщении [1] мы описали выделение из клеточных липидов парафинокисляющей бактерии *Mysobacterium paraffinicum* семи пептидолипидов, которые в соответствии с их подвижностью при ТСХ на силикагеле делятся на две группы: «малополярную» и «полярную». Первая группа состоит из трех компонентов: двух кислотных и нейтрального. Нейтральный пептидолипид мы охарактеризовали ранее как N-ацил( $C_{20}$ – $C_{28}$ )-L- треонил-L-валил-L-валил-L-лейцилолипид (I) [2]. В настоящем сообщении описано установление строения доминирующего кислотного компонента (II).

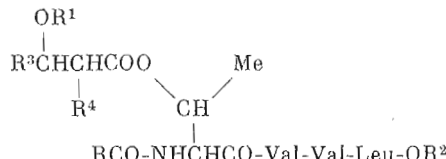
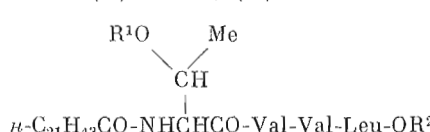
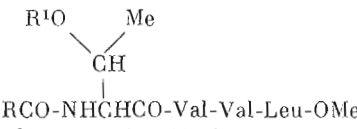
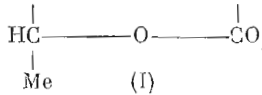
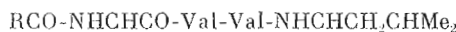
Пептидолипид (II) в жестких условиях кислотного гидролиза дал смесь аминокислот, незамещенные жирные кислоты, миколовые кислоты (минорный компонент гидролизата) и продукты их превращения. Фракция незамещенных жирных кислот, по данным ГЖХ и ГЖХ-масс-спектрометрии соответствующих метиловых эфиров, состояла из нормальных пасыщенных и моноеновых кислот  $C_{20}$ – $C_{28}$  (см. табл. 1). Аминокислотную фракцию анализировали на аминокислотном анализаторе, а в виде N-трифторацетильных производных бутиловых эфиров – методами ГЖХ и ГЖХ-масс-спектрометрии [3]. Абсолютную конфигурацию аминокислот определяли при помощи ГЖХ N-трифторацетатов соответствующих изо-пропиловых эфиров на оптически активной стационарной фазе [1]. В результате было установлено, что эта фракция гидролизата состоит из L-валина, L- треонина и L-лейцина, причем мольное соотношение перечисленных аминокислот и незамещенных жирных кислот было определено

## Состав жирных кислот пептидолипида (II)

Незамещенные нормальные кислоты R-COOH		Миколовые кислоты R <sup>3</sup> CH(OH)CHR <sup>4</sup> COOH *		
R	Относительное содержание, мол. %	Число С-атомов; число двойных связей	Относительное содержание, мол. %	R <sup>3</sup>
C <sub>19</sub> H <sub>39</sub>	5	30:0	7	C <sub>15</sub> H <sub>31</sub> , C <sub>17</sub> H <sub>35</sub>
C <sub>21</sub> H <sub>43</sub>	22	32:0	20	C <sub>17</sub> H <sub>35</sub> , C <sub>19</sub> H <sub>39</sub>
C <sub>21</sub> H <sub>41</sub>	4,5	34:0 и 34:1	27	C <sub>19</sub> H <sub>39</sub> , C <sub>19</sub> H <sub>37</sub> , C <sub>21</sub> H <sub>43</sub> , C <sub>21</sub> H <sub>41</sub>
C <sub>23</sub> H <sub>47</sub>	22	36:0 и 36:1	21	C <sub>21</sub> H <sub>43</sub> , C <sub>21</sub> H <sub>41</sub> , C <sub>23</sub> H <sub>47</sub> , C <sub>23</sub> H <sub>45</sub>
C <sub>23</sub> H <sub>45</sub>	22	38:0 и 38:1	12	C <sub>23</sub> H <sub>47</sub> , C <sub>23</sub> H <sub>45</sub> , C <sub>25</sub> H <sub>51</sub> , C <sub>25</sub> H <sub>49</sub>
C <sub>25</sub> H <sub>51</sub>	2,5	40:1	9	C <sub>23</sub> H <sub>49</sub> , C <sub>27</sub> H <sub>53</sub>
C <sub>25</sub> H <sub>49</sub>	20	42:1	4	C <sub>27</sub> H <sub>53</sub> , C <sub>29</sub> H <sub>57</sub>
C <sub>27</sub> H <sub>53</sub>	5			

\* R<sup>4</sup>=C<sub>10</sub>H<sub>21</sub> или C<sub>12</sub>H<sub>25</sub>.

как 2 : 1 : 1 : 1. Таким образом, по составу названных элементов молекулы кислотный пептидолипид (II) не отличается от нейтрального пептидолипида (I) [2]. На основании этого, а также принимая во внимание тот факт, что оба липида синтезируются одним и тем же организмом, мы предположили, что основной молекулы липида (II) является та же N-ацил-(C<sub>20</sub>—C<sub>28</sub>)тетрапептидная цепь, которая составляет молекулу (I), а именно RCO-Thr-Val-Val-Leu-.



(II) R<sup>1</sup>=R<sup>2</sup>=H; (IIa) R<sup>1</sup>=H, R<sup>2</sup>=CH<sub>3</sub>; (d<sub>3</sub>-IIa) R<sup>1</sup>=H,  
R<sup>2</sup>=CD<sub>3</sub>; (IIb) R<sup>1</sup>=Ac, R<sup>2</sup>=CH<sub>3</sub>

Везде R=n-алкил C<sub>19</sub>—C<sub>27</sub> (см. табл. 1); все аминокислоты L-ряда

Миколовые кислоты либо этерифицируют гидроксильную группу остатка треонина, либо могут быть этерифицированы остатком лейцина. Поскольку в процессе кислотного гидролиза миколовые кислоты в зна-

чительной степени деградируют, для их отщепления и последующего анализа мы применили щелочной метанолиз. При этом микровые кислоты освобождались количественно и полностью сохранялись, но в то же время происходило и расщепление пептидной цепи, вследствие чего получить интактный N-ацилпептидный фрагмент липидной молекулы не удалось. Микровые кислоты анализировали в виде 3-O-метилпроизводных метиловых эфиров методами ГЖХ и ГЖХ-масс-спектрометрии [4] (результаты анализа приводятся в табл. 1).

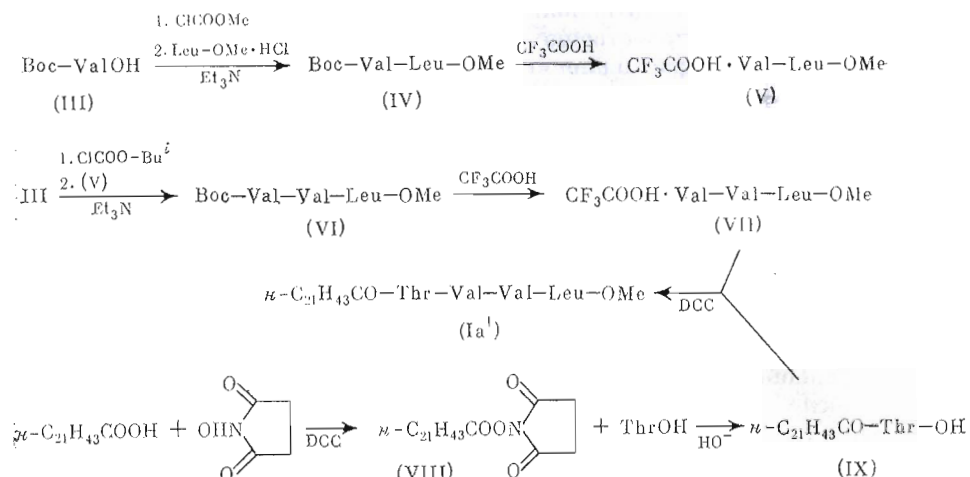
Дополнительные данные о структуре пептидолипида (II) были получены при изучении его ИК-спектра, а также ИК-спектров метилового эфира липида (IIa) и ацетата метилового эфира (IIb). Метиловый эфир (IIa) легко образовывался при обработке нативного липида диазометаном, однако попытка ацетилировать его действием уксусного ангидрида в пиридине даже при нагревании при 90° С в течение длительного времени была безуспешной. Ацетилирование эфира (IIa) удалось осуществить только после добавления в реакционную смесь 4-диметиламинопиридина [5].

Следует заметить, что метиловый эфир (IIa), продукт метанолиза пептидолипида (II), быстро превращался в ацетат (IIb) при обработке уксусным ангидрилом в пиридине при комнатной температуре [2]. Кроме того, эфир (IIa) в отличие от эфира (Ia) был устойчив в условиях окисления по Джонсу и к окислению хромовым ангидрилом в уксусной кислоте (70° С, 3 ч.). Отсюда можно сделать вывод, что свободная гидроксильная группа в молекулах (II) и (IIa), скорее всего, принадлежит остатку микровой кислоты, который в таком случае должен быть связан с гидроксильной группой треоинового остатка. Свободная гидроксильная группа в подобной молекуле в значительной степени экранирована.

ИК-спектр нативного липида (II) содержит полосы валентных колебаний связей N—H амидных групп с максимумами при 3278 и 3076 см<sup>-1</sup>. Первая полоса частично перекрывается полосой валентных колебаний связи H—O гидроксильной группы и поэтому имеет плечо при 3380 см<sup>-1</sup>. Аналогичную структуру та же полоса имеет в ИК-спектре метилового эфира (IIa) —  $\nu_{N-H}$  3275 см<sup>-1</sup>, плечо при 3380 см<sup>-1</sup>, но в спектре ацетата (IIb) она симметрична. В области карбонильных колебаний ИК-спектра ливидной фракции (II) находятся 3 полосы — при 1743, 1715 и 1635 (плечо 1647) см<sup>-1</sup>. Первая, очевидно, принадлежит сложноэфирной карбонильной группе, вторая — карбоксильной, а третья — амидным карбошилам (Амид I). Амидным группам отвечает и интенсивная полоса деформационных колебаний связей N—H (Амид II) при 1497 см<sup>-1</sup>. На присутствие свободной карбоксильной группы указывает также широкая полоса валентных колебаний связей H—O в области 2800–2500 см<sup>-1</sup>. В спектре метилового эфира (IIa) полосы при 1715 и 2800–2500 см<sup>-1</sup> не наблюдаются, а интенсивность полосы сложноэфирного карбонила ( $\nu_{C=O}$  1741 см<sup>-1</sup>) по отношению к интенсивности амидных полос I и II значительно выше, чем в спектре продукта метанолиза (Ia) пептидолипида (II). Это говорит о наличии в молекулах метиловых эфиров (IIa) более чем одной сложноэфирной группы. Относительная интенсивность полосы  $\nu_{C=O}$  сложного эфира в ИК-спектре ацетата (IIb) возрастает в еще большей степени.

Масс-спектры метилового эфира (IIa) и его ацетата (IIb) совпадают в основных чертах с масс-спектром метилового эфира (Ia), изучавшимся нами ранее [2]. Этот факт находится в соответствии с предположением об идентичности N-ацилтрапептидных цепей в молекулах пептидолипидов (I) и (II). С целью детального анализа характера фрагментации под электронным ударом молекулярных ионов подобных соединений мы осуществили синтез одного из гомологов, входящих в состав фракции (Ia), метилового эфира N-докозаноил-L-треонил-L-валил-L-валил-L-лейцина (Ia'), и изучили его масс-спектр. Синтез проводили методами, представленными на схеме 1. Конечный продукт (Ia') при ТСХ на силикагеле проявлял

Схема 1



: Boc = C(O)OCMe<sub>3</sub>, DCC - дициклогексилкарбодиимид, все аминокислоты L-ряда

одинаковую с метиловым эфиром (Ia) подвижность. ИК-спектры фракции (Ia) и соединения (Ia') оказались весьма близкими. Для выяснения некоторых особенностей распада молекулярного иона (Ia') были получены масс-спектры ацетильного производного (Ib') и дейтерометилового эфира (*d*<sub>3</sub>-Ia').

В масс-спектре синтетического метилового эфира (Ia') (табл. 2) присутствует малointенсивный пик молекулярного иона с *m/z* 766, значительно более интенсивен пик иона [M - H<sub>2</sub>O]<sup>+</sup> с *m/z* 748. В области высоких значений массовых чисел наблюдаются также пики ионов [M - H<sub>2</sub>O - Me']<sup>+</sup>, *m/z* 733, [M - CH<sub>2</sub>=CHONH]<sup>+</sup>, *m/z* 722, [M - Me<sub>2</sub>C=CH<sub>2</sub>]<sup>+</sup>, *m/z* 710, [M - H<sub>2</sub>O - Me<sub>2</sub>CH]<sup>+</sup>, *m/z* 705, [M - H<sub>2</sub>O - Me<sub>2</sub>C=CH<sub>2</sub>]<sup>+</sup>, *m/z* 692, [M - H<sub>2</sub>O - COOME]<sup>+</sup>, *m/z* 689. К ионам [M - CH<sub>2</sub>=CHONH]<sup>+</sup> и [M - Me<sub>2</sub>C=CH<sub>2</sub>]<sup>+</sup> приводит элиминирование из молекулярного иона оксиэтильного и изобутильного остатка соответственно, принадлежащих остаткам треонина и лейцина, с миграцией в каждом случае атома водорода к заряженному фрагменту, т. е. обе реакции протекают по механизму Маклафферти. Согласно литературным данным [6], расщепление пептидной цепи молекулярного иона эфира N-ацилпептида должно происходить главным образом по двум направлениям (схема 2): 1) по аминокислотному типу — путем разрыва связей CO-NH с образованием аминокислотных фрагментов (A, B и B'); 2) путем разрыва связей C-CO при локализации заряда на N-концевом фрагменте, в результате чего возникают алльдиминные ионы (A', B' и B''). Пики ионов обоих типов имеют сравнительно высокую интенсивность в масс-спектре эфира (Ia') и сохраняют свое положение в спектре дейтерометилового эфира (*d*<sub>3</sub>-Ia'). Однако в спектре ацетильного производного (Ib') они смещаются на 42 единицы массы (табл. 3), что находится в соответствии со структурой обсуждаемых ионов. Строение некоторых из них подтверждено также точным измерением их массовых чисел, а пути образования — наличием пиков соответствующих метастабильных ионов (см. табл. 2 и 3). Ионам типа A', B' и B'' сопутствуют фрагменты, близкие им по интенсивности, с массовыми числами, большими на единицу. Скорее всего, к этим фрагментам, как и при образовании алльдиминных ионов, приводят разрыв связей C-CO, сопровождающийся миграцией атома водорода к заряженному фрагменту. Ионы рассмотренных выше серий, теряя молекулу воды в случае метилового эфира (Ia') или молекулу уксусной кислоты в случае ацетата (Ib'), дают фрагменты, пики которых, как правило, превосходят по интенсивности пики ионов-предшественников. Очевидно, что в случае дейтерометилового эфира (d<sub>3</sub>-Ia') разрыв связей C-CO не приводит к образованию алльдиминных ионов, так как в этом случае эти ионы смещаются на 42 единицы массы.

Таблица 2

Основные пики в масс-спектре синтетического метилового эфира  
N-докозаноил-L-тронил-L-валил-L-валил-L-лейцина (Ia') \*

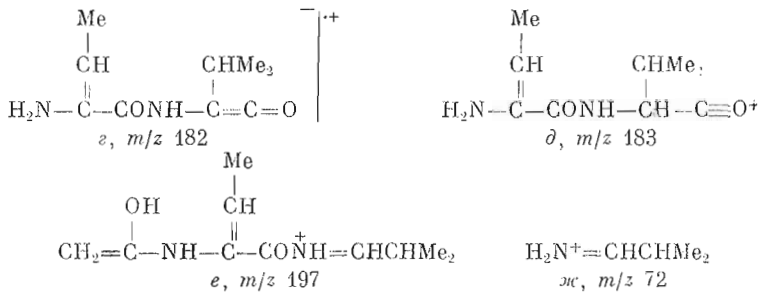
<i>m/z</i>	<i>I</i> <sub>отн.</sub> , %	Тип иона	Найденная брutto-фор- мула	<i>m/z</i> по масс-спектру <i>d</i> <sub>3</sub> -Ia'
766	0,3	<i>M</i> <sup>+</sup>		769
748	2,4	<i>M</i> - H <sub>2</sub> O		751
733	0,7	<i>M</i> - H <sub>2</sub> O-Me		736
722	2,2	<i>M</i> - MeCHO		725
710	0,3	<i>M</i> - MeCH=CH <sub>2</sub>		713
705	1,0	<i>M</i> - H <sub>2</sub> O-CHMe <sub>2</sub>		708
692	1,0	<i>M</i> - H <sub>2</sub> O-MeCH=CH <sub>2</sub>		695
689	1,0	<i>M</i> - H <sub>2</sub> O-COOMe		689
622	1,4	<i>B</i>		622
604	3,1	<i>B</i> - H <sub>2</sub> O		604
594	3,1	<i>B'</i>		594
577	7,2	<i>B'</i> + H-H <sub>2</sub> O	C <sub>35</sub> H <sub>67</sub> N <sub>3</sub> O <sub>3</sub>	577
576	8,0	<i>B'</i> - H <sub>2</sub> O	C <sub>35</sub> H <sub>66</sub> N <sub>3</sub> O <sub>3</sub>	576
523	10,8	<i>B</i>	C <sub>31</sub> H <sub>59</sub> N <sub>2</sub> O <sub>4</sub>	523
505	57,5	<i>B</i> - H <sub>2</sub> O	C <sub>31</sub> H <sub>57</sub> N <sub>2</sub> O <sub>3</sub>	505
496	1,8	<i>B'</i> + H		496
495	2,2	<i>B'</i>		495
478	25,0	<i>B'</i> + H-H <sub>2</sub> O		478
477	57,5	<i>B'</i> - H <sub>2</sub> O	C <sub>30</sub> H <sub>57</sub> N <sub>2</sub> O <sub>2</sub>	477
424	7,2	<i>A</i>		424
406	2,7	<i>A</i> - H <sub>2</sub> O		406
396	2,0	<i>A'</i>		396
379	6,1	<i>A'</i> + H-H <sub>2</sub> O	C <sub>26</sub> H <sub>49</sub> NO	379
378	9,2	<i>A'</i> - H <sub>2</sub> O	C <sub>25</sub> H <sub>48</sub> NO	378
344	0,5	<i>a</i>	C <sub>17</sub> H <sub>34</sub> N <sub>3</sub> O <sub>4</sub>	347
323	1,5	C <sub>21</sub> H <sub>43</sub> CO <sup>+</sup>		323
310	1,0	<i>a</i> - H <sub>2</sub> -MeOH		310
245	7,5	<i>b</i>	C <sub>12</sub> H <sub>25</sub> N <sub>2</sub> O <sub>3</sub>	248
244	3,2	<i>b</i> - H <sub>2</sub> -MeOH		244
197	5,9	<i>e</i>		197
183	2,6	<i>δ</i>	C <sub>9</sub> H <sub>15</sub> N <sub>2</sub> O <sub>2</sub>	183
182	3,0	<i>ε</i>	C <sub>9</sub> H <sub>14</sub> N <sub>2</sub> O <sub>2</sub>	182
146	8,0	<i>ω</i>	C <sub>17</sub> H <sub>16</sub> NO <sub>2</sub>	149
72	100,0	<i>ж</i>		72

\* В масс-спектре присутствуют пики метастабильных ионов *m/z* 487,6; 459,7; 450,6 и 443,6, отвечающие превращениям ионов: *m/z* 523 → *m/z* 505, *m/z* 495 → *m/z* 477, *m/z* 505 → *m/z* 477 и *m/z* 748 → *m/z* 576 соответственно.

видно, элиминирование H<sub>2</sub>O или AcOH происходит из треонинового остатка. Массовые числа ионов, содержащих дегидратированный треониновый остаток, в спектрах соединений (Ia') и (Ib') совпадают.

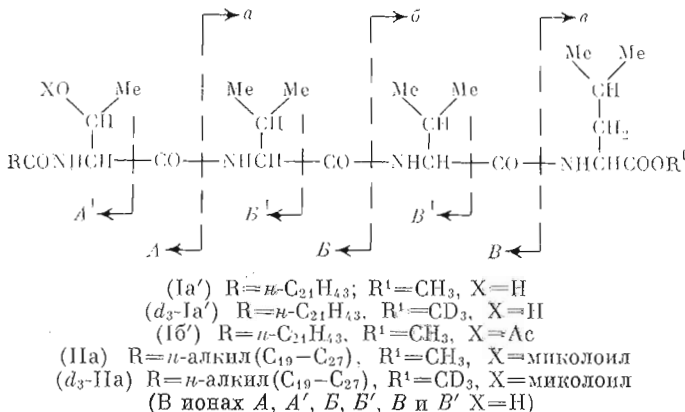
Еще одна диагностическая важная серия ионов в масс-спектре эфира (Ia') представлена фрагментами *a*, *b* и *ω*, которые, как и амидные фрагменты (*A*, *B* и *B'*), образуются в результате разрыва амидной связи CO-NH, однако заряд при этом локализуется на карбометоксилсодержащем фрагменте. Образование ионов *a*, *b* и *ω* сопровождается миграцией двух атомов водорода к указанным фрагментам. В масс-спектре дейтероаналога (*d*<sub>3</sub>-Ia') пики этих ионов смешиваются на три единицы массы в область больших массовых чисел, но сохраняют свое положение в спектре ацетата (Ib'). Структуры ионов *a*, *b* и *ω* подтверждены также результатами точного измерения их массовых чисел.

В области низких величин *m/z* масс-спектров соединений (Ia') и (Ib') заметную интенсивность имеют пики ионов с *m/z* 182 (*ε*), 183 (*δ*) и 197 (*e*) — возможные структуры этих ионов представлены ниже. Максимальным в обоих спектрах является пик иона *ж* с *m/z* 72, возникающего из валинового остатка.



Выяснение основных закономерностей масс-спектрометрического поведения синтетического метилового эфира N-докозаноилтетрапептида ( $\text{Ia}'$ ) позволило однозначно установить структуру N-ацилпептидной цепи пативного пептидолипида ( $\text{II}$ ). Основная трудность интерпретации масс-спектра метилового эфира ( $\text{IIa}$ ) обусловлена тем, что последний представляет собой смесь гомологов. Вследствие этого, во-первых, относительная интенсивность пиков фрагментов распада каждого из гомологичных молекулярных ионов резко снижается; во-вторых, поскольку жирноацильные остатки компонентов липидной фракции различаются на две метиленовые группы, т. е. на 28 единиц массы, пики некоторых аминокислотных и альдиминных фрагментов, образующихся из ближайших гомологов, совпадают. В таких случаях правильное отнесение пиков может быть сделано лишь при помощи масс-спектрометрии высокого разрешения.

Схема 2



В основном фрагментация гомологичных молекулярных ионов компонентов фракции метиловых эфиров ( $\text{IIa}$ ) следует тем же закономерностям, которые были установлены при масс-спектрометрии модельных соединений ( $\text{Ia}'$ ) и ( $\text{Ib}'$ ). Однако в спектре эфира ( $\text{IIa}$ ) (табл. 4) пики молекулярных ионов отсутствуют, а наибольшие массовые числа соответствуют ионам типа  $[M - \text{ХОН}]^+$  ( $\text{X}=\text{OCCH}(\text{R}')\text{CH}(\text{OH})\text{R}$ ), возникающим в результате элиминирования молекулярными ионами молекулы микровой кислоты. Наличие в масс-спектре пиков указанных ионов доказывает, что карбометоксильная группа в молекулах компонентов фракции ( $\text{IIa}$ ) принадлежит одному из аминокислотных остатков, а микровая кислота этерифицирует гидроксильную группу треонинового остатка. В масс-спектре дейтерометилового эфира ( $d_3\text{-IIa}$ ), полученного в результате обработки эфира ( $\text{IIa}$ ) раствором  $\text{CD}_3\text{ONa}$  в  $\text{CD}_3\text{OD}$ , пики ионов  $[M - \text{ХОН}]^+$  смешены в область больших массовых чисел на три единицы, что подтверждает их структуры. Вывод о последовательности аминокислотных остатков в молекулах эфиров ( $\text{IIa}$ ), а следовательно, и пептидолипида ( $\text{II}$ ) сделан на основании сравнения характера распада пептидных цепей в молекулярных ионах соединения ( $\text{Ia}'$ ) и компонентов фракции ( $\text{IIa}$ ).

Таблица 3

Основные пики в масс-спектре синтетического ацетата  
метилового эфира  
N-докозаноил-L-треонил-L-валил-L-валил-L-лейцина (Iб') \*

<i>m/z</i>	<i>I</i> <sub>отн.</sub> , %	Тип иона	Найденная брютто-фор- мула
808	0,9	<i>M</i> <sup>+</sup>	
793	0,3	<i>M</i> - Me <sup>•</sup>	
777	0,7	<i>M</i> - MeOH	
766	1,2	{ <i>M</i> - CH <sub>2</sub> CO ( <i>M</i> - MeCH=CH <sub>2</sub>	
752	0,8	<i>M</i> - Me <sub>2</sub> C=CH <sub>2</sub>	
748	2,9	<i>M</i> - AcOH	
733	0,5	<i>M</i> - AcOH-Me <sup>•</sup>	
722	0,7	<i>M</i> - CH <sub>2</sub> =CHOAc	
717	0,6	<i>M</i> - AcOH-MeO <sup>•</sup>	
706	0,3	<i>M</i> - AcOH-MeCH=CH <sub>2</sub>	
692	0,6	<i>M</i> - AcCH-Me <sub>2</sub> C=CH <sub>2</sub>	
664	4,1	<i>B</i>	
637	6,0	<i>B</i> + H	
636	9,8	<i>B'</i>	C <sub>37</sub> H <sub>70</sub> N <sub>3</sub> O <sub>5</sub>
604	4,2	<i>B</i> - AcOH	
577	6,1	<i>B'</i> + H-AcOH	C <sub>15</sub> H <sub>37</sub> N <sub>3</sub> O <sub>3</sub>
576	5,5	<i>B'</i> - AcOH	
565	8,4	<i>B</i>	C <sub>33</sub> H <sub>61</sub> N <sub>2</sub> O <sub>5</sub>
538	4,4	<i>B'</i> + H	
537	2,7	<i>B'</i>	
505	87,0	<i>B</i> - AcOH	C <sub>31</sub> H <sub>57</sub> N <sub>2</sub> O <sub>3</sub>
478	14,0	<i>B'</i> + H-AcOH	C <sub>30</sub> H <sub>58</sub> N <sub>2</sub> O <sub>2</sub>
477	27,9	<i>B'</i> - AcOH	C <sub>30</sub> H <sub>57</sub> N <sub>2</sub> O <sub>2</sub>
466	18,4	<i>A</i>	C <sub>28</sub> H <sub>52</sub> NO <sub>4</sub>
438	3,1	<i>A'</i>	
406	11,5	<i>A</i> - AcOH	C <sub>26</sub> H <sub>48</sub> NO <sub>2</sub>
379	7,0	<i>A'</i> + H-AcOH	
378	14,8	<i>A'</i> - AcOH	C <sub>25</sub> H <sub>48</sub> NO
344	1,0	<i>a</i>	C <sub>17</sub> H <sub>34</sub> N <sub>3</sub> O <sub>4</sub>
323	2,2	C <sub>21</sub> H <sub>43</sub> CO <sup>+</sup>	
245	8,7	<i>b</i>	C <sub>12</sub> H <sub>25</sub> N <sub>2</sub> O <sub>3</sub>
197	6,2	<i>c</i>	
183	5,4	<i>d</i>	C <sub>9</sub> H <sub>15</sub> N <sub>2</sub> O <sub>2</sub>
182	6,9	<i>e</i>	C <sub>8</sub> H <sub>14</sub> N <sub>2</sub> O <sub>2</sub>
146	10,7	<i>g</i>	C <sub>7</sub> H <sub>16</sub> NO <sub>2</sub>
72	100,0	<i>ж</i>	

\* В масс-спектре присутствуют пики метастабильных ионов *m/z* 326,2; 423,7; 443,6 и 551,4, отвечающие превращениям ионов: *m/z* 438 → *m/z* 378, *m/z* 537 → *m/z* 477, *m/z* 748 → *m/z* 576 и *m/z* 565 → → *m/z* 505.

В масс-спектре вещества (IIa) присутствуют пики ионов всех типов, характерных для фрагментации пептидной цепи молекулярного иона эфира (Ia'). В отличие от спектра ацетата (Iб') в масс-спектре эфира (IIa) отсутствуют пики фрагментов, содержащих O-ацильный остаток (в данном случае остаток миколовой кислоты). Треониновый остаток в ионах типа *A*, *B*, *B'* и *A'*, *B'*, как в случае эфира (Ia'), имеет свободную гидроксильную группу. Аналогичная картина наблюдается и в масс-спектре ацетильного производного (IIб), что еще раз говорит о замещенном состоянии гидроксильной группы треонинового остатка в молекуле нативного липопротеина (II). Возможно, предшественниками вышеуказанных ионов являются ионы типа  $[M - RCH(OH)C(R') = C = O]^+$ , образующиеся за счет потери молекулярным ионом молекулы жирного кетена, или же процесс их образования протекает в иной последовательности: вначале происходит разрыв пептидной цепи, а затем элиминирование кетена из заряженного фрагмента. Специфическая особенность распада молекулярных ионов с ненасыщенными N-ацильными остатками состоит в появлении ионов типа

Таблица 4

## Основные пики в масс-спектре метилового эфира пептидолипида (Па) \*

<i>m/z</i>	<i>I<sub>отн.</sub></i> , %	Тип иона	Брутто-формула	<i>m/z</i> по масс-спектру <i>d<sub>3</sub>-Па</i>
830	0,5	<i>M<sub>1</sub></i> – XOH		833
802	1,8	<i>M<sub>2</sub></i> – XOH		805
776	0,8	<i>M<sub>3</sub></i> – XOH		779
774	1,4	<i>M<sub>4</sub></i> – XOH		777
748	0,5	<i>M<sub>5</sub></i> – XOH		751
720	0,2	<i>M<sub>6</sub></i> – XOH		723
703	0,2	<i>B<sub>1</sub></i> – H		703
685	0,2	<i>B<sub>1</sub></i> – H–H <sub>2</sub> O		685
676	0,4	<i>B<sub>1</sub>'</i>		676
675	0,6	<i>B<sub>2</sub></i> – H		675
659	0,7	<i>B<sub>1</sub>'</i> +H–H <sub>2</sub> O		659
658	0,6	<i>B<sub>1</sub>'</i> –H <sub>2</sub> O		658
657	0,6	<i>B<sub>2</sub></i> – H–H <sub>2</sub> O		657
650	0,2	<i>B<sub>3</sub></i>		650
648	0,4	<i>B<sub>2</sub>'</i>		648
647	0,6	<i>B<sub>4</sub></i> – H		647
632	1,6	<i>B<sub>3</sub></i> – H <sub>2</sub> O		632
631	2,4	<i>B<sub>2</sub>'</i> +H–H <sub>2</sub> O		631
630	0,8	<i>B<sub>2</sub>'</i> –H <sub>2</sub> O		630
629	0,6	<i>B<sub>4</sub>'</i> –H–H <sub>2</sub> O		629
623	0,2	<i>B<sub>3</sub>'</i> +H		623
622	0,4	<i>B<sub>3</sub>'</i> и <i>B<sub>5</sub></i>		622
621	0,2	<i>B<sub>4</sub>'</i> +H		621
620	0,3	<i>B<sub>4</sub>'</i>		620
605	1,4	<i>B<sub>3</sub>'</i> +H–H <sub>2</sub> O		605
505	42,2	$\begin{cases} A_1 \text{ – H} \\ B_3 \text{ – H}_2\text{O} \\ B_3' \text{ – H}_2\text{O} \end{cases}$	C <sub>32</sub> H <sub>59</sub> NO <sub>3</sub>	505
504	3,3	<i>B<sub>4</sub>'</i> +H–H <sub>2</sub> O	C <sub>31</sub> H <sub>57</sub> N <sub>2</sub> O <sub>3</sub>	504
503	4,2	<i>B<sub>4</sub>'</i> –H <sub>2</sub> O	C <sub>32</sub> H <sub>59</sub> N <sub>2</sub> O <sub>2</sub>	503
495	0,4	<i>B<sub>5</sub>'</i> и <i>B<sub>6</sub></i>		495
487	0,8	<i>A<sub>1</sub></i> – H <sub>2</sub> O		487
479	3,5	<i>A<sub>1</sub>'</i> +H		479
478	3,2	<i>A<sub>1</sub>'</i> и <i>B<sub>5</sub>'</i> +H–H <sub>2</sub> O		478
477	5,3	$\begin{cases} A_2 \text{ – H} \\ B_5 \text{ – H}_2\text{O} \\ B_6 \text{ – H}_2\text{O} \end{cases}$	$\begin{cases} C_{30}H_{55}NO_3 \\ C_{30}H_{57}N_2O_2 \\ C_{29}H_{53}N_2O_3 \end{cases}$	477
461	0,9	<i>A<sub>1</sub>'</i> +H–H <sub>2</sub> O		461
460	1,3	$\begin{cases} A_1 \text{ – H}_2\text{O} \\ A_2 \text{ – H}_2\text{O} \end{cases}$		460
452	1,3	<i>A<sub>3</sub>'</i>		452
451	1,0	<i>A<sub>2</sub>'</i> +H		451
450	1,4	$\begin{cases} A_2' \\ A_4 \end{cases}$		450
449	1,3	$\begin{cases} A_4 \text{ – H} \\ B_6' \text{ – H}_2\text{O} \end{cases}$	$\begin{cases} C_{28}H_{52}NO_3 \\ C_{28}H_{51}NO_3 \end{cases}$	449
434	1,4	<i>A<sub>3</sub></i> – H <sub>2</sub> O	C <sub>28</sub> H <sub>52</sub> NO <sub>2</sub>	434
433	1,5	<i>B<sub>2</sub>'</i> +H–H <sub>2</sub> O		433
432	1,4	<i>A<sub>4</sub></i> – H <sub>2</sub> O		432

<i>m/z</i>	<i>I<sub>отн.</sub></i> , %	Тип иона	Брутто-формула	<i>m/z</i> по масс-спектру <i>d<sub>5</sub>-Ta</i>
424	1,1	<i>A<sub>3</sub>'</i> и <i>A<sub>5</sub></i>		424
422	0,6	<i>A<sub>4</sub>'</i>		422
604	2,0	<i>B<sub>1</sub>'</i> — H <i>B<sub>3</sub>'</i> — H <sub>2</sub> O <i>B<sub>5</sub></i> — H <sub>2</sub> O		604
603	2,0	<i>B<sub>4</sub>'</i> + H — H <sub>2</sub> O		603
602	0,5	<i>B<sub>4</sub>'</i> — H <sub>2</sub> O		602
594	0,3	<i>B<sub>5</sub>'</i> и <i>B<sub>6</sub></i>		594
587	1,1	<i>B<sub>1</sub>'</i> — H <sub>2</sub> O		587
595	0,15	<i>B<sub>5</sub>'</i> + H		595
578	1,4	<i>B<sub>1</sub>'</i> + H		578
577	1,3	<i>B<sub>1</sub>'</i> и <i>B<sub>5</sub>'</i> + H — H <sub>2</sub> O		577
576	1,1	<i>B<sub>2</sub>'</i> <i>B<sub>5</sub>'</i> — H <sub>2</sub> O <i>B<sub>6</sub>'</i> — H <sub>2</sub> O		576
559	4,9	<i>B<sub>2</sub>'</i> — H <sub>2</sub> O <i>B<sub>1</sub>'</i> — H <sub>2</sub> O	C <sub>35</sub> H <sub>63</sub> N <sub>2</sub> O <sub>3</sub>	559
551	1,3	<i>B<sub>3</sub>'</i>		551
549	0,8	<i>B<sub>2</sub>'</i> и <i>B<sub>6</sub>'</i> + H — H <sub>2</sub> O		549
548	0,5	<i>B<sub>4</sub>'</i> — H <i>B<sub>6</sub>'</i> — H <sub>2</sub> O		548
533	10,7	<i>B<sub>3</sub>'</i> — H <sub>2</sub> O	C <sub>33</sub> H <sub>61</sub> N <sub>2</sub> O <sub>3</sub>	533
532	4,4	<i>B<sub>2</sub>'</i> + H — H <sub>2</sub> O		532
531	7,4	<i>B<sub>4</sub>'</i> — H <sub>2</sub> O <i>B<sub>2</sub>'</i> — H <sub>2</sub> O	C <sub>33</sub> H <sub>59</sub> N <sub>2</sub> O <sub>3</sub>	531
524	0,5	<i>B<sub>3</sub>'</i> + H		524
523	0,9	<i>B<sub>3</sub>'</i> <i>B<sub>5</sub>'</i>	C <sub>22</sub> H <sub>63</sub> N <sub>2</sub> O <sub>3</sub>	523
521	0,4	<i>B<sub>4</sub>'</i>		521
406	2,4	<i>A<sub>3</sub>'</i> — H <sub>2</sub> O <i>A<sub>5</sub></i> — H <sub>2</sub> O (C <sub>27</sub> H <sub>53</sub> CO <sup>+</sup> ) + H	C <sub>26</sub> H <sub>48</sub> NO <sub>2</sub> C <sub>28</sub> H <sub>54</sub> O	406
405	1,4	<i>A<sub>4</sub>'</i> + H — H <sub>2</sub> O		405
404	1,3	<i>A<sub>4</sub>'</i> — H <sub>2</sub> O		404
396	0,5	<i>A<sub>5</sub>'</i> и <i>A<sub>6</sub></i>		396
378	1,6	<i>A<sub>5</sub>'</i> — H <sub>2</sub> O <i>A<sub>6</sub></i> — H <sub>2</sub> O (C <sub>25</sub> H <sub>49</sub> CO <sup>+</sup> ) + H	C <sub>25</sub> H <sub>48</sub> NO C <sub>26</sub> H <sub>50</sub> O	378
368	0,5	<i>A<sub>6</sub>'</i>		368
350	0,8	<i>A<sub>6</sub>'</i> — H <sub>2</sub> O		350
344	0,8	<i>a</i>	C <sub>17</sub> H <sub>34</sub> N <sub>3</sub> O <sub>4</sub>	347
245	8,7	<i>b</i>	C <sub>12</sub> H <sub>25</sub> N <sub>2</sub> O <sub>3</sub>	248
211	2,8	<i>b</i> — H <sub>2</sub> — MeOH	C <sub>11</sub> H <sub>19</sub> N <sub>2</sub> O <sub>2</sub>	211
197	3,5	<i>e</i>		197
183	1,9	<i>d</i>	C <sub>9</sub> H <sub>15</sub> N <sub>2</sub> O <sub>2</sub>	183
182	1,6	<i>c</i>		182
146	8,0	<i>a</i>	C <sub>7</sub> H <sub>16</sub> NO <sub>2</sub>	149
72	100,0	<i>xc</i>		72

\* Цифровые индексы — 1, 2, 3, 4, 5 или 6 — при буквенных обозначениях ионов указывают структуру жирноокислотного остатка в данном ионе — R = C<sub>27</sub>H<sub>53</sub>, C<sub>25</sub>H<sub>49</sub>, C<sub>23</sub>H<sub>47</sub>, C<sub>23</sub>H<sub>45</sub>, C<sub>21</sub>H<sub>43</sub> или C<sub>19</sub>H<sub>39</sub> соответственно.

$[A - H]^+$ ,  $[B - H]^+$  и  $[B - H]^+$ , интенсивность пиков которых выше, чем у пиков фрагментов  $A$ ,  $B$  и  $B'$ . Судя по имеющимся в масс-спектре пикам метастабильных ионов, предшественниками фрагментов  $[A - H_2O]^+$ ,  $[A' - H_2O]^+$  и подобных им ионов с дегидратированным треониновым остатком являются гидроксилсодержащие ионы  $A$ ,  $A'$  и т. п., а также ионы типа  $[M - XOH]^{+*}$ . Как и в спектре соединения (Ia'), пики ионов с ненасыщенным аминокислотным остатком более интенсивны по сравнению с пиками соответствующих гидроксилсодержащих фрагментов ( $A$ ,  $A'$ ,  $B$ ,  $B'$ ,  $B$ ,  $B'$ ). Величины массовых чисел всех рассмотренных выше характеристических ионов масс-спектра метиловых эфиров (IIa) дают основание считать, что N-ацилпептидные цепи компонентов этой фракции построены так же, как в молекуле синтетического метилового эфира N-ацилтетрапептида (Ia'). Найденная аминокислотная последовательность в молекулах эфиров (IIa) доказывается также наличием в масс-спектре пиков ионов  $a$ ,  $b$  и  $c$  с  $m/z$  344, 245 и 146, структура которых подтверждается сдвигом их пиков на три единицы массы в спектре дейтероаналога ( $d_3$ -IIa) и, кроме того, измеренными точными величинами массовых чисел.

Вышеизложенные результаты масс-спектрометрического анализа не позволяют определить число микролипидных остатков в молекуле пептидолипида (II). Мы установили его на основании данных элементного анализа метилового эфира (IIa). Содержание азота в этой фракции находится в пределах 4,1192–4,1310% (по результатам пяти определений), что отвечает «среднему молекулярному весу» фракции 1356–1359. Отсюда следует, что в состав молекул компонентов липидной фракции входит только один микролипидный остаток, и, таким образом, основной кислотный пептидолипид в клетках *M. paraffinicum* имеет структуру N-ацил( $C_{20}-C_{28}$ )-L-(O-микролипид) треонил-L-валил-L-валил-L-лейцина (II). Насколько нам известно, пептидолипиды, содержащие остатки микровых кислот, до сих пор не обнаруживали.

### Экспериментальная часть

Выделение пептидолипида (II) из клеток *M. paraffinicum* см. в предыдущем сообщении [1].

Для хроматографии на колонках использовали силикагель L с размером частиц 100–160 мкм (Lachema, ЧССР), который предварительно обрабатывали ранее описанным способом [1]. ТСХ природных липидов, их производных и продуктов леградации проводили на готовых пластинках с закрепленным слоем (0,25 мм) силикагеля 60 F<sub>254</sub> (Merck, ФРГ). Вещества на хроматограммах обнаруживали по их флуоресценции в УФ-свете, а также следующими реагентами: 50%  $H_2SO_4$  с последующим обугливанием при  $\sim 200^\circ C$ , бензидиновым реагентом [7] после инкубирования пластинок в атмосфере хлора. Для ТСХ синтезированных веществ применяли силуфом, вещества обнаруживали бензидиновым реагентом и 5% раствором фосфорномolibденовой кислоты в этаноле (пластинки нагревали 10 мин при  $100-110^\circ C$ ).

Использовали указанные в предыдущих сообщениях [1, 2] условия кислотного гидролиза пептидолипида, методы, приборы и условия для анализа аминокислот, микровых и незамещенных жирных кислот, приборы и условия для ИК-спектроскопии, масс-спектрометрии и измерения оптического вращения. Температуру плавления (не исправлены) синтезированных соединений определяли на нагревательном столике «Boetius» (ГДР).

*Метиловый эфир пептидолипида (IIa)*. Раствор 10 мг пептидолипида (II) в 4 мл  $CHCl_3$  обрабатывали при  $20^\circ C$  избыtkом эфирного раствора диазометана. Через 15 мин смесь упаривали досуха, остаток растворяли в 5 мл смеси  $CHCl_3$  —  $MeOH$  (3 : 1), раствор смешивали с 1 г силикагеля и смесь высушивали 1 ч на роторном испарителе при  $30-35^\circ C/10-15$  мм. Сухой остаток суспендировали в  $CHCl_3$  и вносили в колонку (15×2 см), заполненную силикагелем в  $CHCl_3$ . Колонку промывали 100 мл  $CHCl_3$ ,

после чего 80 мл  $\text{CHCl}_3$ , содержащего 1%  $\text{MeOH}$ , элюировали 9 мг метилового эфира ( $\text{IIa}$ ),  $R_f$  0,55 ( $\text{CHCl}_3 - \text{MeOH}$ , 40 : 1), 0,8 ( $\text{CHCl}_3 - \text{MeOH} - \text{AcOH}$ , 30 : 1 : 0,1);  $[\alpha]_D^{22} - 8,5^\circ$  ( $\text{CHCl}_3 - \text{MeOH}$ , 2 : 1,  $c$  0,23). ИК-спектр (пленка вещества;  $\nu_{\text{макс}}$ ,  $\text{см}^{-1}$ ): 3275, плечо 3380 ( $\nu_{\text{N-H}}$  и  $\nu_{\text{O-H}}$ ), 3078 ( $\nu_{\text{N-H}}$ ), 1741 ( $\nu_{\text{C=O}}$  в сложном эфире), 1633, плечо 1646 ( $\nu_{\text{C=O}}$  в амиде), 1498 ( $\delta_{\text{N-H}}$ ), 1215, 1155 ( $\nu_{\text{C-O}}$ ).

*Дейтерометиловый эфир пептидолипида ( $d_3$ - $\text{IIa}$ ).* К раствору 3 мг метилового эфира ( $\text{IIa}$ ) в 0,5 мл безводного  $\text{CHCl}_3$  добавляли при  $20^\circ\text{C}$  0,2 мл 0,5% раствора  $\text{CD}_3\text{ONa}$  в  $\text{CD}_3\text{OD}$ , смесь оставляли на 2 ч при той же температуре, подкисляли ледяной  $\text{AcOH}$  до  $\text{pH}\ 5$  и упаривали досуха. Остаток растворяли в 2 мл смеси  $\text{CHCl}_3 - \text{MeOH}$  (2 : 1), раствор встряхивали с 0,4 мл воды и смесь оставляли до полного разделения фаз. После упаривания нижней фазы получили дейтерометиловый эфир ( $d_3$ - $\text{IIa}$ ), не отличающийся по подвижности при ТСХ от метилового эфира ( $\text{IIa}$ ).

*Ацетат метилового эфира ( $\text{IIb}$ ).* К раствору 5 мг метилового эфира ( $\text{IIa}$ ) в 0,5 мл  $\text{CHCl}_3$  и 0,5 мл безводного пиридина добавляли при  $20^\circ\text{C}$  0,5 мл уксусного ангидрида и 2 мг 4-диметиламинопиридина. Смесь оставляли на 48 ч при  $20^\circ\text{C}$ , после чего упаривали досуха. Остаток растворяли в 1 мл  $\text{CHCl}_3$  и раствор наносили на колонку, заполненную 2 г силикагеля в  $\text{CHCl}_3$ . Колонку промывали 25 мл  $\text{CHCl}_3$ , затем 25 мл  $\text{CHCl}_3$ , содержащего 1%  $\text{MeOH}$ , вымывали ацетат ( $\text{IIb}$ ),  $R_f$  0,65 ( $\text{CHCl}_3 - \text{MeOH}$ , 50 : 1). ИК-спектр (пленка вещества;  $\nu_{\text{макс}}$ ,  $\text{см}^{-1}$ ): 3280 и 3078 ( $\nu_{\text{N-H}}$ ), 1737 ( $\nu_{\text{C=O}}$  в сложном эфире), 1632 ( $\nu_{\text{C=O}}$  в амиде), 1498 ( $\delta_{\text{N-H}}$ ), 1222, 1155 ( $\nu_{\text{C-O}}$ ).

*Щелочной метанолиз метилового эфира пептидолипида ( $\text{IIa}$ ).* К раствору 5 мг метилового эфира ( $\text{IIa}$ ) в 1 мл безводного свежеперегнанного тетрагидрофурана добавляли 0,5 мл 0,5% раствора  $\text{MeONa}$  в  $\text{MeOH}$ . Смесь кипятили 6 ч и оставляли на 12 ч при  $20^\circ\text{C}$ , после чего нейтрализовали ледяной  $\text{AcOH}$  и упаривали досуха. Остаток экстрагировали 2 мл  $\text{CHCl}_3$ , экстракт наносили на колонку (10×1 см), заполненную силикагелем в  $\text{CHCl}_3$ ; 20 мл  $\text{CHCl}_3$  вымывали метиловые эфиры миколовых кислот,  $R_f$  0,35 (гексан — эфир, 7 : 3). Последние О-метилировали иодистым метилом в присутствии окиси серебра [4] и анализировали на хроматографе «Varian 2100», снабженном пламенно-ионизационным детектором и колонкой (2000×2 мм) с 3% силикона SE-30 на хроматоне W-HP (80—100 меш), температурный режим колонки:  $200 \rightarrow 320^\circ\text{C}$  ( $6^\circ\text{C}/\text{мин}$ ); газ-носитель — гелий (30 мл/мин). Кроме того, 3-О-метилпроизводные метиловых эфиров миколовых кислот анализировали методом ГЖХ-масс-спектрометрии на хроматомасс-спектрометре LKB 9000 (Швеция). Для ГЖХ использовали вышеуказанную колонку в тех же условиях.

*Метиловый эфир N-трет-бутилоксикарбонил-L-валил-L-лейцина (IV).* К раствору 2,17 г (10 ммоль) N-трет-бутилоксикарбонил-L-валина ( $\text{III}$ ) (Reanal, Венгрия) и 1,4 мл (10 ммоль) триэтиламина в 10 мл безводного тетрагидрофурана добавляли при перемешивании и  $-5^\circ\text{C}$  раствор 1,1 мл (10 ммоль) этилового эфира хлоругольной кислоты в 2 мл безводного тетрагидрофурана. Смесь перемешивали 15 мин при той же температуре, после чего к ней добавляли раствор 1,82 г (10 ммоль) хлоргидрата метилового эфира L-лейцина и 2,8 мл (20 ммоль) триэтиламина в 10 мл безводного диметилформамида. Смесь оставляли на 8 ч при  $20^\circ\text{C}$ , затем фильтровали, фильтрат упаривали досуха, остаток растворяли в 20 мл этилацетата. Раствор промывали насыщенным раствором  $\text{NaHCO}_3$ , водой, 10% лимонной кислотой, спиртом (по 10 мл), сушили над безводным  $\text{Na}_2\text{SO}_4$  и упаривали досуха. Остаток перекристаллизовывали из смеси гексан — этилацетат. Получили 1,57 г (45%) метилового эфира N-трет-бутилоксикарбонил-L-валил-L-лейцина ( $\text{IV}$ ),  $R_f$  0,75 ( $\text{CHCl}_3$  — этилацетат, 15 : 1), т. пл. 131—133,5° $\text{C}$ ,  $[\alpha]_D^{19} - 23^\circ$  ( $\text{CHCl}_3$ ;  $c$  0,65). ИК-спектр (пленка вещества;  $\nu_{\text{макс}}$ ,  $\text{см}^{-1}$ ): 3315, 3275, 3073 ( $\nu_{\text{N-H}}$ ), 1748 ( $\nu_{\text{C=O}}$  в  $\text{COOMe}$ ), 1685 ( $\nu_{\text{C=O}}$  в  $\text{O-C(=O)NH}$ ), 1648 ( $\nu_{\text{C=O}}$  в  $\text{C-C(=O)NH}$ ), 1553, 1522 ( $\delta_{\text{N-H}}$ ). Масс-спектр:  $m/z$  344 ( $M^+$ ).

Полученный эфир (IV) растворяли в 10 мл безводной трифторуксусной кислоты, раствор оставляли на 30 мин при 20° С, затем разбавляли 20 мл эфира и отфильтровывали трифторацетат метилового эфира *L*-валил-*L*-лейцина (V), который промывали на фильтре 15 мл эфира и высушивали 4 ч при 25° С/0,5 мм.

*Метиловый эфир N-трет-бутилоксикарбонил-*L*-валил-*L*-лейцина (VI).* К раствору 2,17 г (10 ммоль) *N*-трет-бутилоксикарбонил-*L*-валина (III) и 1,4 мл (10 ммоль) триэтиламина в 10 мл безводного тетрагидрофурана добавляли при перемешивании при ~0° С раствор 1,3 мл (10 ммоль) изобутилового эфира хлоруксусной кислоты в 2 мл тетрагидрофурана. Смесь перемешивали 15 мин при ~0° С, после чего к ней добавляли раствор 3,58 г (10 ммоль) трифторацетата метилового эфира *L*-валил-*L*-лейцина (V) и 2,78 мл (20 ммоль) триэтиламина в 10 мл безводного тетрагидрофурана. Смесь оставляли на 12 ч при 20° С и обрабатывали как описано выше. Получили 3,46 г (68%) метилового эфира *N*-трет-бутилоксикарбонил-*L*-валил-*L*-валил-*L*-лейцина (VI),  $R_f$  0,3 ( $\text{CHCl}_3$  — этилацетат, 15 : 1), т. пл. 174–176,5° С (гексан — этилацетат),  $[\alpha]_{589}^{25}$  −50°,  $[\alpha]_{579}^{25}$  −57°,  $[\alpha]_{405}^{25}$  −118°,  $[\alpha]_{302}^{25}$  −343° (при 20° С,  $\text{CHCl}_3$ , с 1,0). ИК-спектр (пленка вещества;  $\nu_{\text{макс}}$ , см<sup>−1</sup>): 3300, 3082 ( $\nu_{\text{N-H}}$ ), 1748 ( $\nu_{\text{C=O}}$  в  $\text{COOMe}$ ), 1695 ( $\nu_{\text{C=O}}$  в  $\text{O-C(=O)NH}$ ), 1645 ( $\nu_{\text{C=O}}$  в  $\text{C-C(=O)NH}$ ), 1540 ( $\delta_{\text{N-H}}$ ). Масс-спектр:  $m/z$  443 ( $M^+$ ).

Аналогично эфиру (IV) полученный эфир (VI) превращали в трифторацетат (VII).

*N-Докозаноилоксисукцинид (VIII).* К раствору 3,4 г (10 ммоль) *n*-докозановой кислоты (Fluka, Швейцария) и 1,15 г (10 ммоль) *N*-окси-сукцинида в 150 мл  $\text{CHCl}_3$  добавляли при перемешивании и ~0° С раствор 2,06 г (10 ммоль) дициклогексилкарбодиимида в 20 мл  $\text{CHCl}_3$ . Смесь оставляли на 24 ч при 20° С, выпавший осадок отфильтровывали, фильтрат упаривали досуха, кристаллический осадок перекристаллизовывали из  $\text{MeOH}$ . Получили 2,0 г (46%) *N*-докозаноилоксисукцинида (VIII),  $R_f$  0,7 ( $\text{CHCl}_3$ ), т. пл. 91–93° С (т. пл. 94–94° С [8]).

*N-Докозаноил-*L*-треонин (IX).* К раствору 298 мг (2,5 ммоль) *L*-треонина (Reanal, Венгрия) и 220 мг (2,6 ммоль)  $\text{NaHCO}_3$  в 120 мл 50% водного тетрагидрофурана добавляли раствор 1,09 г (2,5 ммоль) *N*-докозаноилоксисукцинида (VIII) в 20 мл тетрагидрофурана. Смесь оставляли на 24 ч при 20° С, после чего подкисляли 6 н.  $\text{HCl}$  до pH 3 и упаривали на 3/4 первоначального объема. Выпавший кристаллический осадок отфильтровывали, промывали водой, высушивали в вакууме над безводным  $\text{CaCl}_2$  до постоянного веса и растворяли в 30 мл тетрагидрофурана. Раствор смешивали с 10 г силикагеля, смесь сушили 40 мин на роторном испарителе при 30° С/15 мм и суспендировали в  $\text{CHCl}_3$ . Суспензию вносили в колонку (20×3 см), заполненную силикагелем в  $\text{CHCl}_3$ . Колонку промывали 200 мл смеси  $\text{CHCl}_3$  —  $\text{MeOH}$  (80 : 1) и 250 мл смеси  $\text{CHCl}_3$  —  $\text{MeOH}$  (20 : 1). Второй элюят упаривали досуха, кристаллический остаток перекристаллизовывали из этилацетата. Получили 1,03 г (93%) *N*-докозаноил-*L*-треонина (IX),  $R_f$  0,3 ( $\text{CHCl}_3$  — этилацетат, 15 : 1), т. пл. 96–98° С,  $[\alpha]_{579}^{25}$  −45,3°,  $[\alpha]_{516}^{25}$  +11,7°,  $[\alpha]_{407}^{25}$  +26,5° (при 48° С,  $\text{CHCl}_3$ , с 1,1). ИК-спектр (пленка вещества;  $\nu_{\text{макс}}$ , см<sup>−1</sup>): 3523 ( $\nu_{\text{O-H}}$  в  $\text{C-OH}$ ), 3320 ( $\nu_{\text{N-H}}$ ), 2645 ( $\nu_{\text{O-H}}$  в  $\text{COOH}$ ), 1712 ( $\nu_{\text{C=O}}$  в  $\text{COOH}$ ), 1655 ( $\nu_{\text{C=O}}$  в амиде), 1553 ( $\delta_{\text{N-H}}$ ).

При действии избытка раствора диазометана в эфире докозаноилтреонина (IX) количественно превращался в соответствующий метиловый эфир. Масс-спектр:  $m/z$  455 ( $M^+$ ), 437 ( $M - \text{H}_2\text{O}$ ), 424 ( $M - \text{MeOH}$ ), 411 ( $M - \text{MeCHO}$ ), 323 ( $\text{C}_{21}\text{H}_{43}\text{CO}^+$ ), 131 ( $M - \text{H}-\text{C}_{21}\text{H}_{43}\text{CO}^+$ ).

*Метиловый эфир *N*-докозаноил-*L*-треонил-*L*-валил-*L*-лейцина (Ia').* К раствору 441 мг (1 ммоль) *N*-докозаноил-*L*-треонина (IX), 456 мг (1 ммоль) трифторацетата (VII) и 0,14 мл (1 ммоль) триэтиламина в 30 мл смеси  $\text{CHCl}_3$  — диметилформамид (1 : 1) добавляли при ~0° С раствор 206 мг (1 ммоль) дициклогексилкарбодиимида в 5 мл диметилформамида.

Смесь оставляли при 20° С на 24 ч, фильтровали, фильтрат упаривали, остаток растворяли в 5 мл CHCl<sub>3</sub>, и вносили в колонку (15×2 см), заполненную силикагелем в CHCl<sub>3</sub>. Колонку промывали 300 мл CHCl<sub>3</sub>, а затем 200 мл смеси CHCl<sub>3</sub> – MeOH (50 : 1). Второй элюат упаривали досуха, остаток перекристаллизовывали из этилацетата. Получили 80 мг (10,5%) метилового эфира N-докозаноил-L-треонил-L-валил-L-валил-L-лейцина (Ia'), т. пл. 237–239,5° С, [α]<sub>589</sub> –4,4°, [α]<sub>365</sub> –7,4°, [α]<sub>312</sub> –14,8° (при 20° С, CHCl<sub>3</sub>, с 0,4). ИК-спектр (пленка вещества; ν<sub>макс</sub>, см<sup>-1</sup>): 3280 (ν<sub>0-Н</sub> и ν<sub>N-Н</sub>), 3087 (ν<sub>N-Н</sub>), 1745 (ν<sub>C=O</sub> в COOMe), 1630 (ν<sub>C=O</sub> в амидах), 1552 (δ<sub>N-Н</sub>). При ТСХ на силуфоле и на пластинках с силикагелем 60 (Merck) эфир (Ia') не отличался по подвижности от продукта метанолиза (Ia) пептидолипида (I), R<sub>f</sub> 0,45 и 0,4 соответственно в системе CHCl<sub>3</sub> – MeOH (20 : 1).

Дейтерометиловый эфир ( $d_3$ -Ia') получали из эфира (Ia') аналогично дейтерометиловым эфирам ( $d_3$ -IIa). Действием смеси уксусного ангидрида и пиридина (1 : 1) на эфир (Ia') (6 ч, 20° С) получали ацетат (Ib'), который не отличался по подвижности при ТСХ на силикагеле 60 от ацетил-производного (Ib), R<sub>f</sub> 0,65 (CHCl<sub>3</sub> – MeOH, 20 : 1).

## ЛИТЕРАТУРА

- Батраков С. Г., Муратов В. Б., Бергельсон Л. Д., Коронелли Т. В. Липиды микробактерий. VI. Пептидолипиды парафинокисляющей бактерии *Mycobacterium paraffinicum*. Выделение и общая характеристика.– Биоорган. химия, 1981, т. 7, № 7, с. 1075–1086.
- Батраков С. Г., Муратов В. Б., Розынов Б. В., Решетова О. С., Бергельсон Л. Д., Коронелли Т. В. Липиды микробактерий. V. Циклотетрапептид, ацплированный жирной кислотой, из *Mycobacterium paraffinicum*.– Биоорган. химия, 1981, т. 7, № 4, с. 563–573.
- Gelpi E., Koenig W. A., Gilbert J., Oró J. Combined gas chromatography-mass spectrometry of amino acid derivatives.– J. Chromatogr. Sci., 1969, v. 7, № 3, p. 604–613.
- Батраков С. Г., Садовская В. Л., Розынов Б. В., Коронелли Т. В., Бергельсон Л. Д. Липиды микробактерий. II. «Корд-фактор» и масс-спектрометрический анализ мицелловых кислот *Mycobacterium paraffinicum*.– Биоорган. химия, 1978, т. 4, № 5, с. 667–681.
- Neises B., Steglich W. Simple method for the esterification of carboxylic acids.– Angew. Chem. Int. Ed., 1978, B. 17, № 7, S. 522–524.
- Розынов Б. В. Масс-спектрометрия в биоорганической химии (применение в анализе аминокислот, пептидов и белков).– Итоги науки и техники. Органическая химия. М.: ВИНИТИ, 1978, т. 2, гл. 3.
- Хайс И. М., Мацек К. Хроматография на бумаге. М.: Изд-во иност. лит., 1962, с. 460, 721.
- Charles R., Beiter U., Feibush B., Gil-Av E. Separation of enantiomers on packed columns containing optically active diamide phases.– J. Chromatogr., 1975, v. 112, № 1, p. 121–133.

Поступила в редакцию  
20.I.1981

## LIPIDS OF MYCOBACTERIA. VII. N-ACYLTETRAPEPTIDE WITH A MYCOLIC ACID RESIDUE FROM *MYCOBACTERIUM PARAFFINICUM*

BATRAKOV S. G., MURATOV V. B., ROZYNOV B. V., BERGELSON L. D.,  
KORONELLI T. V.

*M. M. Shemyakin Institute of Bioorganic Chemistry,  
Academy of Sciences of the USSR, Moscow;  
Department of Biology, M.V. Lomonosov State University, Moscow*

The structure of the major acidic peptidolipid produced by the paraffin oxidizing bacterium *Mycobacterium paraffinicum* has been established. On the basis of chemical degradation experiments as well as IR spectroscopy and mass spectrometry data the lipid was characterized as N-acyl(C<sub>20</sub>–C<sub>28</sub>)-L-(O-mycoloyl)threonyl-L-valyl-L-valyl-L-leucine. N-Docosanoyl-L-threonyl-L-valyl-L-valyl-L-leucine methyl ester and its O-acetate have been synthesized as reference compounds for interpretation of the mass spectra of the peptidolipid derivatives.